

Removal of Pb (II) from Aqueous Solution Using Response Surface Methodology with Aminated Magnetic Graphene Oxide Synthesized from *Typha Latifolia*

F. Einollahipeer¹, N. Okati²

1. Assist. Prof., Dept. of Environment, Faculty of Natural Resources,
University of Zabol, Zabol, Iran
(Corresponding Author) fatemeheinollahi@uoz.ac.ir
2. Assist. Prof., Dept. of Environment, Faculty of Natural Resources,
University of Zabol, Zabol, Iran

(Received July 26, 2021 Accepted Dec. 26, 2021)

To cite this article:

Einollahipeer, F., Okati, N. 2022. "Removal of Pb (II) from aqueous solution using response surface methodology with aminated magnetic graphene oxide synthesized from *Typha latifolia*" Journal of Water and Wastewater, 33(1), 119-136. Doi: 10.22093/wwj.2021.296799.3165. (In Persian)

Abstract

Today, environmental pollution and less accessibility of freshwater have been a serious challenge due to industrialization and urbanization. Therefore, the aim of this study was to investigate the synthesis of aminated magnetic graphene oxide (m-GO-NH₂) from *Typha latifolia* and its application for Pb (II) removal from aqueous solution. The m-GO-NH₂ was synthesized from steam of *T. latifolia* by using CVD and applied to Pb (II) removal. The structure of synthesized nano adsorbent was characterized by using SEM, FTIR, AFM, Raman spectroscopy and pHZPC. After finding the optimum amount of pH, central composite design was applied to survey the effect of time (X₁), initial concentration of Pb (II) (X₂) and adsorption dosage (X₃) for Pb (II) removal from aqueous solution. Two quadratic models were developed to estimate the amount of Pb (II) removal efficiency with design expert software. According to the SEM, FTIR, AFM, Raman analysis, the mGO-NH₂ was successfully synthesized. The amount of 164.29 mg/g of Pb (II) removal at operation conditions (X₁=120min, X₂=35mg/L and X₃=20 mg/L) indicated an excellent agreement with the model amount predicted. Regarding the thermodynamic studies, the adsorption procedure was spontaneous and endothermic and followed Freundlich isotherm and Redlich-Peterson (R-P) equations. In conclusion, it is affirmed the m-GO-NH₂ as synthesized from *T. latifolia*, has a high capability for use in adsorption of Pb (II) from aqueous solution.

Keywords: Isotherms Models, Thermodynamic, Adsorption, Central Composite Design.



استفاده از اکسید گرافن مغناطیسی آمین دار سنتز شده از گیاه *Typha latifolia* برای حذف سرب به روش سطح پاسخ

فاطمه عین‌الهی پیر^۱، نرجس اکاتی^۲

۱- استادیار، گروه محیط‌زیست، دانشکده منابع طبیعی، دانشگاه زابل، زابل، ایران

(نویسنده مسئول) fatemeheinollahi@uoz.ac.ir

۲- استادیار، گروه محیط‌زیست، دانشکده منابع طبیعی، دانشگاه زابل، زابل، ایران

(دریافت ۱۴۰۰/۵/۴ پذیرش ۱۴۰۰/۱۰/۵)

برای ارجاع به این مقاله به صورت زیر اقدام بفرمایید:

عین‌الهی پیر، ف.، اکاتی، ن.، ۱۴۰۱، "استفاده از اکسید گرافن مغناطیسی آمین دار سنتز شده از گیاه *Typha latifolia* برای حذف سرب به روش سطح پاسخ" مجله آب و فاضلاب، ۳۳(۱)، ۱۱۹-۱۳۶.
Doi: 10.22093/wwj.2021.296799.3165.

چکیده

امروزه آلودگی محیط‌زیست و کاهش آب شیرین قابل دسترسی، از مهم‌ترین مشکلات محیط‌زیستی ناشی از افزایش شهرنشینی و صنعتی شدن است. بر این اساس، هدف از انجام این پژوهش، سنتز گرافن اکسید مغناطیسی آمین دار ($mGO-NH_2$) از ساقه گیاه آبزی لوئی *Typha latifolia* به عنوان جاذب فلز سرب به روش سطح پاسخ (RSM) بود. در این پژوهش، گرافن از ساقه گیاه آبزی لوئی *Typha latifolia* به روش راکتور حرارتی CVD سنتز و پس از انجام مرافق اکسیداسیون و مغناطیسی، با گروه‌های عاملی آمین، عامل دار شد. سپس به منظور حصول اطمینان از سنتز نانوجاذب، ویژگی‌های ساختاری آن توسط آنالیزهای FTIR، SEM، AFM، pHZPC و ZETA potential، Raman، AFM، اکتورهای زمان (X_1)، غلظت سرب (X_2) و مقدار جاذب (X_3)، بر کارایی اکسید گرافن مغناطیسی آمین دار شده ($mGO-NH_2$) در حذف یون‌های سرب از محلول آبی، به وسیله معادله درجه دوم به روش RSM و طرح مرکب مرکزی (CCD) بررسی شد. بر اساس نتایج حاصل از تصویر SEM، تصویر Raman و طیف FTIR، سنتز نانوجاذب تأیید شد. مقدار بیشینه ظرفیت جذب برابر $164/29\text{mg/g}$ ($X_1 = 20\text{ min}$ و $X_2 = 20\text{ mg/L}$ ، $X_3 = 20\text{ mg}$) حاکی از هم راستا بودن نتایج آزمایش‌ها با مقدار پیش‌بینی شده مدل بود. بر اساس مدل فرون‌دلیچ و دلیچ-پیتسون، فرایند جذب نیز از نوع برهم‌کنش شیمیایی با سطح نامتجانس جاذب بود. پژوهش ترمودینامیک نیز حاکی از گرمایی بودن فرایند جذب بود. نتایج این بررسی نشان داد که ساقه گیاه لوئی می‌تواند به عنوان گزینه مناسبی در سنتز گرافن مورد استفاده قرار گرفته و $mGH-NH_2$ حاصل، کارایی مؤثری در جذب یون‌های سرب از محلول‌های آبی دارد.

واژه‌های کلیدی: ایزوترم جذب، ترمودینامیک جذب، جذب سطحی، طرح مرکب مرکزی

- مقدمه

پس از صنایع کاغذسازی، تولید رنگ و مواد شیمیایی، نیروگاه‌های تولید برق، صنایع نساجی و صنایع ذوب فلزات به محیط افزوده می‌شوند (Ajiboye et al., 2021, Huang et al., 2016). ورود فلزات سنگین به منابع آبی، یکی از مهم‌ترین معضلاتی است که با توسعه روزافزون فعالیت‌های صنعتی پدید آمده است. عناصر مختلفی مانند جیوه، کادمیم، سرب، نیکل، مس و کروم از طریق



سطح ویژه وسیع و گروههای عاملی اکسیدی متنوعی به شکل‌های اپوکسی، هیدروکسیل و کربوکسیل دارد. وجود این گروههای اکسیدی در سطح ماده، موجب می‌شود تا با اتصال گروههای عاملی ویژه، برای حذف طیف وسیعی از آلاندنهای به صورت گزینشی قابل استفاده باشد (Einollahipeer et al., 2018).

با مغناطیسی کردن سطح GO نیز جداسازی آن از محلول به وسیله آهن ربا (بدون نیاز به فیلتر) به راحتی قابل انجام است (Shin et al., 2017).

به طور معمول، برای سنتز GO از پودر گرافیت صنعتی استفاده می‌شود. این ماده از پیش ماده‌های حاوی کربن نیز قابل سنتز است که تاکنون از پیش ماده‌های مختلفی مانند شاخه درخت انگلی، پوست موز، شاخه و برگ درختان و باگاس برای تولید جاذب‌های کربنی استفاده شده است (Akhavan et al., 2014, Nowrouzi et al., 2017, Azimi Bizaki et al., 2020).

گیاه لوبی *Typha latifolia* از جمله گیاهان آبزی است که به صورت خودرو و به شکل گسترده‌ای رشد می‌کند. این گیاه علفی با ریزوم قوی و برگ‌های بلند و کشیده است و در بیشتر مناطق معتمده و استوایی رشد می‌کند. در ایران نیز در آبهای شیرین و کم عمق حاشیه تالاب‌ها، دریاچه‌ها و آبهای راکد می‌روید. ساقه این گیاه، با داشتن ۱۸ درصد کربن و مقدار خاکستر تولیدی کم (۱۰/۲ درصد) و همچنین مقدار ترکیبات فرار با میزان بیش از ۷۱/۹ درصد (Ciria et al., 2005). می‌تواند به عنوان گزینه مناسبی برای سنتز گرافن معرفی شود. بنابراین هدف از این پژوهش، بررسی امکان سنتز GO از ساقه گیاه آبزی لوبی و استفاده از آن در حذف یون‌های سرب بود. از طرفی دیگر، از آنجایی که انجام روش‌های معمول آزمایشگاهی نه تنها هزینه‌بر و وقت‌گیر بوده بلکه موجب عدم پیش‌بینی تأثیر متقابل متغیرها بر یکدیگر می‌شود، استفاده از روش سطح پاسخ^۷ در طراحی این قبیل آزمایش‌ها کارایی مناسب‌تری دارد. این روش با توجه به طراحی مناسب آزمایش یک روش مفید و بسیار کاربردی است که با استفاده از مجموعه‌ای از تکنیک‌های ریاضی و آماری با انجام کمترین آزمایش و صرف‌جویی در هزینه و زمان نسبت به سایر روش‌های معمول، توانایی بیشتری در پیش‌بینی پاسخ‌ها و همچنین

در بین فلزات آلاندنه، ترکیبات سرب از طریق صنایع مختلف مانند لحیم‌کاری‌ها، رنگ‌سازی (کربنات و کرومات سرب)، آلیاژکاری و صنایع باتری‌سازی (اکسید سرب و سرب)، شیشه و لعب (سیلیکات سرب) می‌توانند به محیط‌های مختلف وارد شوند. همچنین ترکیبات تتراتیل و تترامتیل سرب نیز از طریق مصرف بنزین به محیط افزوده می‌شوند (Naja et al., 2021, Ajiboye and Volesky, 2017).

این فلز با حد مجاز ۰/۰ میلی‌گرم در لیتر (Cao et al., 2019) به دلیل خاصیت تجمع زیستی^۱ در موجودات و بزرگ‌نمایی زیستی^۲ در طول زنجیره غذایی یکی از عناصر غیر ضروری خطرناک محسوب می‌شود (Zhao et al., 2020). بنابراین با توجه به اثرات مخرب محیط‌زیستی این عناصر، لازم است که قبل از ورود به منابع آبی، از پساب صنایع حذف شوند.

فلزات سنگین به روش‌های متنوعی مانند ترسیب شیمیایی^۳، اسمز معکوس^۴، جذب سطحی^۵، حذف به کمک انواع جاذب‌ها مانند کربن فعال، رسوب‌دهی، تبادل یونی و جذب سطحی از محلول‌های آبی حذف می‌شوند. در بین روش‌های بیان شده، استفاده از جذب سطحی به دلیل سادگی کاربرد، کم‌هزینه بودن در مقایسه با سایر روش‌ها و همچنین کارایی زیاد کاربرد بیشتری دارد (Qin et al., 2020).

همچنین استفاده از نانوذرات در فرایند جذب سطحی، به دلیل استفاده کمتر از مقدار جاذب و تولید لجن کمتر، قابلیت بازیابی یون‌های فلزی پس از جداسازی از محلول و امکان سنتز جاذب‌های جدید با ظرفیت جذب بالاتر، بیشتر مورد توجه قرار گرفته است (Kazemi et al., 2019, Khan et al., 2020, Einollahipeer et al., 2018).

اکسید گرافن^۶، یکی از مشتقات گرافن بوده که خواص ویژه‌ای مانند مساحت سطح بالا، انعطاف‌پذیری زیاد، پایداری شیمیایی مناسب، بی‌اثر بودن شیمیایی، هدایت الکتریکی و آب‌گیری بالا و عبور نوری فوق العاده دارد (Vu et al., 2020). این ماده همچنین

^۱ Bioaccumulation

^۲ Biomagnification

^۳ Chemical Precipitation

^۴ Reverse Osmosis

^۵ Adsorption

^۶ Graphene Oxide (GO)

^۷ Response Surface Methodology (RSM)



میلی لیتر اتیلن گلیکول در حمام فراصوت به مدت ۳ ساعت پختش شد. سپس $۹/۰\text{ g}\text{r}\text{m}$ FeCl₃.6H₂O و ۲ گرم استات سدیم به مخلوط بالا اضافه شد. پس از هم زدن به مدت ۳۰ دقیقه، مخلوط به ظرف تفلونی ۱۰۰ میلی لیتری اتوکلاو فولاد ضدزنگ منتقل و در ۲۰۰ درجه سلسیوس به مدت ۱۰ ساعت قرار داده شد. GO مغناطیسی به دست آمده به طور کامل با آب مقطر و اتانول شست و شو داده شده و در شرایط خلاً در ۶۰ درجه سلسیوس به مدت ۶ ساعت کاملاً خشک شد (Einollahipeer et al., 2018).

به منظور آمین دار کردن نانوجاذب، ۵۰۰ میلی گرم از Fe₃O₄/GO سنتز شده در مرحله قبل در ۲۰ ml اتیلن دی آمین توسط همزن مغناطیسی به حالت معلق درآمد. سپس $۷/۰\text{ g}\text{r}\text{m}$ DCC به آن اضافه شد و مخلوط در دمای ۶۰ درجه سلسیوس به مدت ۴۸ ساعت در شرایط رفلaks قرار گرفت. محصول نهایی با استفاده از یک آهنربا جدا شد و با استفاده از اتانول شسته شد و در شرایط خلاً در ۸۰ درجه سلسیوس به مدت ۸ ساعت خشک شد (Zawisza et al., 2015).

۲- بررسی ساختار نانوجاذب

برای بررسی ساختار و کیفیت مواد کربن، از طیف‌سننجی رامان Thermo Scientific DXR, USA) در محدوده ۵۰۰ تا ۴۵۰۰ cm^{-1} استفاده شد. خواص و ساختار سطحی نانوکامپوزیت نیز با استفاده از آنالیز AFM تعیین شد. همچنین شناسایی و بررسی ساختار گروه‌های عاملی و سایر پیوندهای ایجاد شده بر سطح نانوجاذب، توسط دستگاه طیف‌سنجد مادون قرمز تبدیل فوریه (Shimadzu FTIR 8400 s spectrometer, Japan) در دامنه ۴۰۰ cm^{-1} تا ۴۰۰۰ cm^{-1} به دست آمد. ساختار GO, mGO و mGO-NH₂ توسط آنالیز میکروسکوپ الکترونی روبشی^۵ نیز بررسی شد.

ابتدا هریک از جاذب‌ها در یک میدان مغناطیسی مناسب با لایه‌ای نازک از طلا پوشانده شدند و سپس تصاویر SEM به وسیله میکروسکوپ SEM LEO 1455VP, Cambridge, U.K تهیه شد. بار سطح جاذب (pH_{ZPC}) در طیف pH شامل مقدار ۱, ۳, ۴, ۵, ۶, ۷, ۸, ۹, ۱۰ و ۱۱ توسط محلول ۱/۰ نرمال HCl و ۵ ml NaOH در

⁴ N'-Dicyclohexylcarbodiimide (DCC)

⁵ Scanning Electron Microscopy (SEM)

بهینه‌سازی مراحل آزمایش دارد. به این ترتیب به کمک این تکنیک، برآورد صحیحی بر ضرایب مدل رگرسیون و اثر مقابل متغیرها قابل دستیابی است (Jaafari and Yaghmaeian, 2019; Beiramzadeh et al., 2019).

بنابراین در این پژوهش پس از سنتز نانوجاذب NH₂-mGO-RSM و آزمون طراحی مرکب مرکزی^۱ به منظور بهینه‌سازی عوامل مؤثر بر فرایند جذب یون‌های سرب استفاده شد.

۲- مواد و روش‌ها

ساقه گیاه *T. latifolia* که در آبگیرهای مختلف به شکل خودرو رشد می‌کند، در این پژوهش به عنوان پیش ماده خام برای سنتز گرافن استفاده شد. ۱۰ گرم از ساقه آسیاب شده در راکتور حرارتی CVD در دمای ۸۰۰ درجه سلسیوس با نرخ حرارت ۱۰ درجه سلسیوس بر دقیقه در حضور گاز آرگون به مدت ۱ ساعت کربونیزه شد. سپس با پتابسیم هیدروکسید به نسبت ۱:۵ (وزنی/وزنی) مخلوط شده و به مدت ۲۴ ساعت تحت دمای ۱۱۰ درجه سلسیوس در آون خشک شد. نمونه فعال شده دوباره به راکتور CVD در دمای ۸۵۰ درجه سلسیوس به مدت ۲ ساعت با نرخ حرارت ۱۰ درجه سلسیوس بر دقیقه در حضور گاز آرگون حرارت داده شد (Azimi Bizaki et al., 2020).

pH برابر ۶ تا ۷ شسته شد و در آون تحت دمای ۱۱۰ درجه سلسیوس به مدت ۲۴ ساعت خشک شد. برای انجام فرایند اکسیداسیون، مقدار ۵۰۰ میلی گرم از گرافن با ۱۰۰ میلی لیتر از HNO₃ و H₂SO₄ به نسبت حجمی ۳ به ۱ به مدت ۳۰ دقیقه در حمام اولتراسونیک (۴۰ KHz, ۳۰۰ W) و ۳ ساعت در دمای محیط توسط همزن مغناطیسی، مخلوط شد. نمونه رقیق شده با فیلتر ۰/۴۵ میکرومتر صاف و تا مرز خشی شدن pH با آب فاقد یون شسته شد و در دمای ۷۰ درجه سلسیوس به مدت ۲۴ ساعت خشک شد (Yang et al., 2013).

۱- سنتز اکسید گرافن مغناطیسی و آمین دار mGO-NH₂^۲

برای سنتز GO مغناطیسی از روش حلal گرمایی^۳ استفاده شد. در این روش ۵۰۰ میلی گرم GO تولید شده به طور کامل در ۷۰

¹ Central Compostie Design (CCD)

² Aminated Magnetic Graphene Oxide (Mgo-NH₂)

³ Solvo-Thermal



ابتدا به منظور حصول اطمینان از افزایش ظرفیت جذب GO مغناطیسی آمین دار، فرایند جذب برای تمامی جاذب‌های سنتز شده شامل GO، m-GO و $m\text{GO-NH}_2$ انجام شد که نتیجه آن در شکل ۶ آمده است. نتیجه این مقایسات نشان داد که اتصال گروه‌های عاملی در سطح جاذب، موجب افزایش ظرفیت جذب می‌شود. افزایش ظرفیت جذب می‌تواند به دلیل اتصال گروه‌های عاملی آمین و همچنین گروه‌های آزاد باقیمانده اکسیدی در سطح GO باشد. در عین حال، کاهش ظرفیت جذب $m\text{GO}$ در مقایسه با GO می‌تواند به دلیل اشغال برخی گروه‌های عاملی اکسیدی موجود در سطح GO در واکنش با نانوذرات Fe_3O_4 باشد. این کاهش ظرفیت در مراحل بعدی شاخص دار شدن، با افزایش تعداد گروه‌های عاملی ظرفیت جذب افزایش می‌یابد (Einollahipeer et al., 2018).

برای انجام آزمایش‌ها توسط جاذب $m\text{GO-NH}_2$ ، دامنه صفر تا ۱۲۰ دقیقه به عنوان X_1 ، غلظت ۱۰ mg/L تا ۵۰ mg/L سرب به عنوان X_2 و میزان جاذب با دامنه ۱۰ تا ۳۰ mg به عنوان X_3 توسط آزمون CCD انتخاب شد. سپس تیمارهای به دست آمده در pH RSM و CCD ثابت شدند (Hasan and Setiabudi, 2019) (جدول ۱). در این روش، به منظور بررسی مدل تجربی اثر فاکتورها بر میزان جذب از رابطه ریاضی درجه دو سه جمله‌ای (معادله ۳) استفاده شد. در این معادله Y پاسخ پیش‌بینی شده است. b_{01} ضریب ثابت است. b_{ii} ثابت خطی است. b_{ij} ثابت برحسب کنش است. b_{02} ثابت درجه دوم و x_i و x_j مقدار کد شده زمان، دوز جاذب و غلظت، x متغیر مستقل و n تعداد متغیرها است. نقاط مرکزی به منظور بررسی خطای آزمایش و نقاط محوری^۱ نیز برای احتمال تکرار پذیری انتخاب شدند. نقاط محوری اطمینان می‌دهند که واریانس پیش‌بینی مدل در تمام نقاط نسبت به نقطه مرکزی ثابت است.

$$Y = f(X_1, X_2, X_3 \dots X_n)$$

که در آن

Y پاسخ سیستم و X_i متغیرهای مورد بررسی است. با رسم جدول CCD فاکتوریل به صورت ۲^۳ شامل تغییرات زمان، دوز جاذب و غلظت آلاینده (دو بار تکرار) به علاوه ۶ آزمایش اضافه به عنوان تکرارهای نقطه مرکزی انجام شد. هر کدام از فاکتورها در ۵ سطح

^۱ Axial

محلول ۱ میلی مولار کلرید سدیم تعیین و شبیه خط منحنی pH متناظر با ΔpH رسم شد (Einollahipeer et al., 2018). پتانسیل زتابی نانوجاذب در دو مرحله GO و $m\text{GO-NH}_2$ نیز با استفاده از دستگاه زتابایز (ZS-100) ساخت شرکت Horiba Scientific ژاپن تعیین شد. برای انجام کار، ۱/۰ گرم از نانوجاذب در دمای محیط (۲۵ درجه سلسیوس) در ۵۰ ml آب مقطر رقیق شد و در pH برابر ۷/۴ سنجش شد.

۳-۲- فرایند جذب

برای انجام آزمایش، ابتدا در دامنه pH برابر ۲ تا ۷ به همراه غلظت ۹۰ دقیقه، میزان pH معادل ۶ بیشترین میزان جذب را نشان داد که این مقدار برای انجام سایر مراحل آزمایش انتخاب شد. غلظت ۱۰۰۰ mg/L از فلز سرب (نمک نیتراتی سرب) تهیه و غلظت‌های موردنظر در طول آزمایش‌های جذب از طریق رقیق‌سازی تهیه شد. برای تنظیم pH نیز از سدیم هیدروکسید (NaOH) و یا هیدروکلرید اسید (HCl) استفاده شد. سپس هر یک از تیمارهای بررسی شده آمده‌سازی و انجام شد. در پایان فرایند جذب، پس از اتمام هر آزمایش، ابتدا دو فاز مایع و جامد به کمک آهن‌ربا از یکدیگر جدا شده و پس از آن غلظت سرب در فاز مایع اندازه‌گیری شد. برای اندازه‌گیری از دستگاه UV-VIS اسپکترومتر در طول موج ۵۲۰ نانومتر و محلول دیتیزون، استفاده شد. میزان درصد حذف (%) Removal و ظرفیت حذف q_e بر حسب mg/g به کمک معادلات ۱ و ۲ به دست آمد

$$\% R = 100 \times \frac{(C_0 - C_e)}{C_0} \quad (1)$$

$$q_e = \frac{V}{M} (C_0 - C_e) \quad (2)$$

که در آنها C_0 به ترتیب غلظت اولیه و غلظت تعادلی بر حسب میلی گرم بر لیتر، V حجم محلول فلزی بر حسب لیتر و M مقدار جاذب بر حسب گرم است.



جدول ۱- طراحی آزمایش و نتایج حاصل در جذب سرب توسط نانوجاذب mGO-NH₂Table 1. Design and response of experiments for Pb (II) removal with mGO-NH₂

Run	Manipulated variables		Initial concentration, X ₂ (mg/L)		Adsorption dosage, X ₃ (g/L)		Response q _e (mg/g)	Pb (II) Removal, (%)
	Time, X ₁ (min)	Uncoded	Coded	Uncoded	Coded	Uncoded	Coded	
1	60	0	35	0	10	-5	64.52	43.91
2	72	1	30	-1	22	1	144.45	95.68
3	72	1	40	1	22	1	128.14	92
4	48	-1	30	-1	18	-1	87.67	70.34
5	72	1	30	-1	18	-1	118	89.34
6	72	1	30	-1	22	1	142.80	94.56
7	72	1	40	1	18	-1	122.12	90.20
8	72	1	40	1	18	-1	122.10	90.20
9	48	-1	30	-1	22	1	91.14	72.24
10	60	0	35	0	30	5	96.56	89.12
11	60	0	35	0	20	0	128.14	96.20
12	72	1	30	-1	18	-1	118.09	89.36
13	48	-1	30	-1	22	1	91.19	72.27
14	60	0	35	0	20	0	128.15	96.22
15	60	0	10	-5	20	0	146.31	94.53
16	60	0	60	5	20	0	42.17	50.20
17	60	0	35	0	10	-5	64.50	43.89
18	72	1	40	1	22	1	122.14	92
19	60	0	35	0	30	5	96.59	89.14
20	60	0	60	5	20	0	64.52	43.90
21	48	-1	30	-1	18	-1	87.67	70.34
22	60	0	35	0	20	0	128.11	96.18
23	48	-1	40	1	18	1	69.12	53.11
24	60	0	35	0	20	0	128.14	96.20
25	120	5	35	0	20	0	164.29	99
26	0	-5	35	0	20	0	20.59	24.47
27	60	0	35	0	20	0	127.15	95.53
28	120	5	35	0	20	0	128.12	96.18
29	48	-1	40	1	22	1	64.08	48.39
30	48	-1	40	1	18	-1	69.12	53.10
31	60	0	10	-5	20	0	145.10	94.39
32	60	0	35	0	20	0	128.15	96.23
33	0	-5	35	0	20	0	20.56	24.45
34	48	-1	40	1	22	1	64.02	48.4

سرب، pH و زمان بررسی شد. در پایان آزمایش، نانوجاذب با استفاده از یک آهنربا از محلول جدا شده و غلظت سرب در محلول اندازه‌گیری شد. هر یک از پارامترهای ($J \cdot mol^{-1} \cdot K^{-1}$) ΔH° و ΔS° ($J \cdot mol^{-1} \cdot K^{-1}$) به ترتیب برابر با شیب^۱ و عرض از مبدأ^۲ نمودار منطبق بر وانت هواف^۳ با رسم منحنی K_{ln} در مقابل T^{-1} هستند.

۱- صفر، +۱، -۱، $\alpha = 1/41 + 1/41 \cdot 2^{1/2}$ اعمال شدند. دامنه و مقدار هر یک از فاکتورها در جدول ۱ آمده است

$$Y = b_0 + \sum_{i=1}^n b_i X_i + \sum_{i=1}^n b_{ii} X_i^2 + \sum_{i=1}^n \sum_{j>1}^n b_{ij} X_i X_j \quad (3)$$

۴- بررسی اثر دما

برای بررسی اثر دما، فرایند جذب یون‌های سرب در دماهای ۱۵، ۲۵ و ۳۵ درجه سلسیوس در شرایط بهینه میزان جاذب، غلظت

¹ Slope² Intercept³ Van’Hoff

بیشینه جذب (mg/g) است. C_e غلظت یون جذب شوند در شرایط تعادل و (L/mg) ثابت تعادلی است

$$\frac{1}{q_e} = \frac{1}{b q_m} \times \frac{1}{C_e} + \frac{1}{q_m} \quad (7)$$

$$q_e = \frac{b q_m C_e}{1+bC_e} \quad (8)$$

مدل فروندلیچ نیز نشان دهنده میزان جذب چند لایه بر روی سطوح نامتجانس جاذب است که بر اساس معادله ۸ قابل محاسبه است. در این معادله، q_e مقدار یون‌های فلزی جذب شده (mg/g)، C_e غلظت تعادلی یون‌های فلزی در محلول (mg/L) و ثابت K_f بر حسب $(L \cdot mg^{-1})^{1/n}$ و n (فاکتور ناهمگنی سطح بین صفر تا ۱۰) ثابت تجربی است که وابسته بهشدت جذب بوده و با میزان ناهمگنی جاذب تغییر می‌کند. هرچه مقدار آن بیشتر می‌شود، نشان دهنده مطلوب بودن فرایند و ظرفیت بیشتر جاذب است

$$\ln q_e = \ln K_f + \frac{1}{n} \ln C_e \quad (9)$$

در مدل D-R که به کمک معادله ۹ به دست می‌آید، مقدار q_m (kJ/mol) پتانسیل جذب و β (mol^2/kJ^2) ثابت‌های مدل بوده و q_e نیز نشان دهنده میزان ظرفیت جذب (mg/g) است. این مدل مکانیسم جذب را برابر اساس توزیع انرژی گوسینی بر سطوح نامتجانس جاذب نشان می‌دهد

$$\ln q_e = \ln q_m - \beta \varepsilon^2 \quad (10)$$

مدل R-P ترکیبی از دو مدل لانگمیر و فروندلیچ بوده که به کمک آن، نتایج با دقت بیشتری قابل بررسی است. این ایزوترم، به دما وابسته نیست. در این مدل فرض می‌شود که وقتی β به صفر نزدیک می‌شود، داده‌ها با مدل فروندلیچ بهتر تطابق دارند. اگر β به نزدیک شود، نیز نتایج با مدل لانگمیر مطابق است. مدل R-P به کمک معادله ۱۰ و ۱۱ به دست می‌آید. مقدار K_{RP} و β (mol^2/kJ^2) ثابت‌های مدل R-P بوده و q_m نیز نشان دهنده میزان ظرفیت جذب بر حسب mg/g است

k_d ثابت معادله جذب و وابسته به دما است و بر اساس معادله ۴ قابل محاسبه است

$$K_d = \frac{C_o - C_e}{C_e} \times \frac{V}{W} \quad (4)$$

$$\ln K_d = \frac{\Delta S^\circ}{R} - \frac{\Delta H^\circ}{RT} \quad (5)$$

انرژی آزاد گیبس^۱ (ΔG°) از طریق معادله وانت-هووف^۲ (معادله ۵) قابل محاسبه است. در این معادله، R ثابت جهانی گازها است که برابر است با $۸/۳۱۴ J \cdot mol^{-1} \cdot K^{-1}$. T دما بر حسب کلوین (K) است

$$\Delta G^\circ = \Delta H^\circ - T\Delta S^\circ \quad (6)$$

بر اساس نتایج آنتالپی، می‌توان تغییرات انرژی درونی محلول در طی فرایند جذب یعنی گرمایزا بودن ($< ۰ \Delta H^\circ$) یا گرمایگیر بودن ($> ۰ \Delta H^\circ$) و افزایش نظم و یا بی‌نظمی در فرایند جذب را تعیین کرد (Azimi Bizaki et al., 2020, Kazemi et al., 2019).

۵-۲- مدل‌های هم‌دمای جذب

به منظور بررسی کارایی بیشینه ظرفیت جذب جاذب در شرایط بهینه آزمایش بر اساس غلظت یون فلزی آزاد در محیط آبی در مقابل مقدار فلز جذب شده روی سطح جاذب، مدل‌های جذب لانگمیر^۳، فروندلیچ^۴، دیبنین-رادوشکوویچ^۵ (D-R) و ردلیچ-پیترسون^۶ (R-P) بررسی شد (Yousefi et al., 2020) (R-P) هم‌دمای لانگمیر، فروندلیچ، ردلیچ-پیترسون و دیبنین-رادوشکوویچ و ضرایب تعیین (R^2) آنها از طریق رسم منحنی خطی در مقابل C_e محاسبه شد (Khakpour and Tahermansouri, 2018)

مدل لانگمیر بر اساس معادلات ۶ و ۷ محاسبه شد که q_m و q_e به ترتیب میزان یون جذب شده بر حسب میزان جاذب (mg/g) و

¹ Gibbs Free Energy

² Vant Hoff

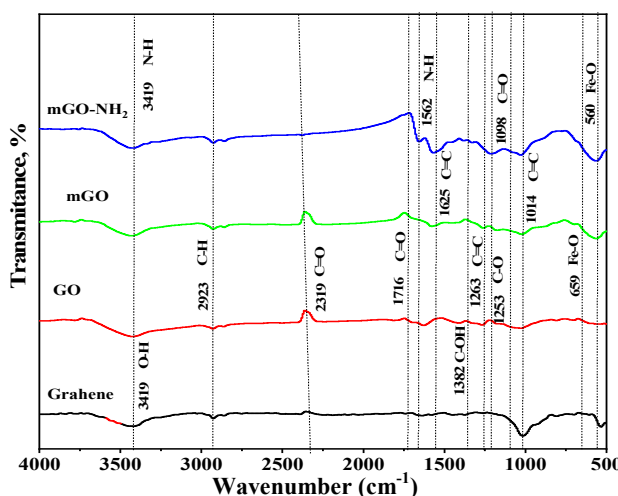
³ Langmuir

⁴ Freundlich

⁵ Dubinin–Radushkevich (D-R)

⁶ Redlich-Peterson





شکل ۱- طیف FTIR مراحل مختلف سنتز جاذب

N-H است. این پیک‌ها نشان می‌دهند که گروه‌های آمین به گروه‌های عاملی اکسید موجود در سطح GO متصل شده‌اند (Einollahipeer et al., 2018). نتایج حاصل از بررسی اندازه و ساختار هریک از جاذب‌های GO، mGO و mGO-NH₂ توسط SEM در شکل ۲ نشان داده شده است. در شکل ۲-a سطح صاف GO، لبه‌های چروکیده و همچنین ساختار لا یه‌لا یه قابل مشاهده است. در شکل‌های ۲-b و ۲-c ذرات کروی شکل Fe₃O₄ و گروه‌های عاملی پدیدار شده‌اند که موجب افزایش سطح جاذب می‌شود (Einollahipeer et al., 2018).

بر اساس تصویر SEM می‌توان اظهار داشت که سطح GO توسط ذرات Fe₃O₄ و گروه‌های عاملی، اشغال شده است. تصویر AFM (شکل ۳) ضخامت نانوجاذب GO را نشان می‌دهد. به طور معمول، پودر گرافیت خالص قبل از عامل دار شدن، ضخامتی حدود ۰/۷ nm دارد. در حالی که، ضخامت صفحات اندازه‌گیری شده افزایش یافته است (۱/۲۷ nm) که نشان دهنده اکسید شدن گرافن است (Einollahipeer et al., 2018, Azimi Bizaki et al., 2020). نتیجه طیف‌سنگی Raman در شکل ۴ نشان داده شده است. به کمک طیف Raman تعداد لایه‌ها و همچنین نظم و یا بی‌نظمی ساختار GO بررسی شد. دو طیف اصلی در ناحیه حدودی ۱۳۴۲ cm^{-۱} و ۱۵۹۱ cm^{-۱} به ترتیب نشان دهنده نوار ارتعاشی D و G هستند که اتم‌های کربن (متعلق به اتم‌های کربنی متصل به گروه‌های عاملی اکسید) SP₃ و اتم‌های کربن SP₂ که در شبکه

$$q_e = \frac{q'_R P K_R P C_e}{1 + K_R P C_e^\beta} \quad (11)$$

$$\ln(K_R P q'_R \frac{C_e}{q_e} - 1) = \ln K_R P + \beta \ln C_e \quad (12)$$

۳- نتایج و بحث

۱- مشخصات ساختاری نانوجاذب سنتز شده

نتایج حاصل از بررسی طیف‌های FTIR برای تمامی مراحل سنتز نانوجاذب، در شکل ۱ آمده است. در طیف گرافن، پیک مشاهده شده در ناحیه ۳۴۱۹ cm^{-۱} مربوط به گروه‌های O-H مولکول‌های آب جذب شده در سطح ماده و باند قرار گرفته در ناحیه ۱۰۱۴ cm^{-۱} ارتعاش کشنی C=C sp² اتم‌های غیراکسیدی را نشان می‌دهد. پیک جذب شده در ناحیه ۱۶۲۵ cm^{-۱} نشان دهنده ارتعاش کشنی C-C در ساختار گرافن است. گروه‌های عاملی اکسیدی کربوکسیلیک اسید، هیدروکسیل و گروه‌های اپوکسی در طیف GO، نیز در ناحیه ۳۴۲۰ cm^{-۱} مربوط به ارتعاش کشنی گروه‌های هیدروکسیل، ۱۷۱۶ cm^{-۱} مربوط به ارتعاش کشنی گروه‌های کربونیل و یا کربوکسیل در حاشیه صفحات بازده‌ای C=O است و ۱۶۲۵ cm^{-۱} مربوط به ارتعاش کشنی C=C بوده که نشان دهنده اکسید شدن سطح گرافن است (Faiz et al., 2020).

پیک مشاهده شده در ناحیه ۱۳۸۲ cm^{-۱} طیف GO نیز مربوط به ارتعاش کشنی C-OH در سطح GO است. پیک ۱۲۵۳ cm^{-۱} در ساختار GO نیز می‌توانند مربوط به گروه‌های اکسیدی C-O اپوکسی و الکوکسی باشند (Khorshidi et al., 2020). همچنین باند تشکیل شده در ناحیه ۲۲۸۱، ۲۳۷۵ و ۲۳۱۴ cm^{-۱} در طیف‌های گرافن، GO و mGO می‌توانند مربوط به باند ارتعاش کشنی C=O دی‌اکسید کربن آزاد باشد (Valizadeh et al., 2016, Nowrouzi et al., 2017).

در طیف‌های mGO-NH₂ و mGO نیز مغناطیسی شدن سطح جاذب از طریق پیک مشاهده شده در ناحیه ۵۶۰ cm^{-۱} و ۶۵۹ cm^{-۱} قابل تشخیص است. این پیک‌ها ارتعاش کشنی باند در ساختار Fe₃O₄ متصل به سطح جاذب را نشان می‌دهند (Kazemi et al., 2019).

در طیف mGO-NH₂ نیز پیک‌های قوی مشاهده شده در ناحیه ۳۴۱۹ cm^{-۱} و ۱۶۴۹ cm^{-۱} مربوط به ارتعاشات کشنی C-N



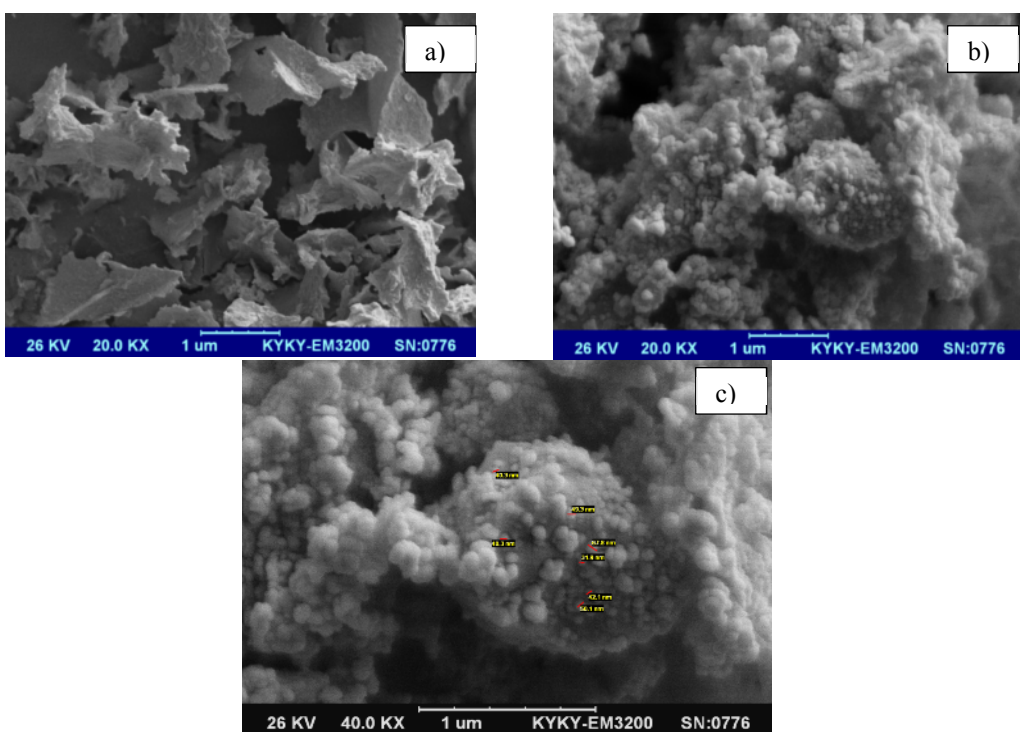


Fig. 2. SEM image of a) GO, b) m-GO and c) m-GO-NH₂
شکل ۲- تصویر SEM (a) GO .GO (b) و mGO (c) m-GO-NH₂

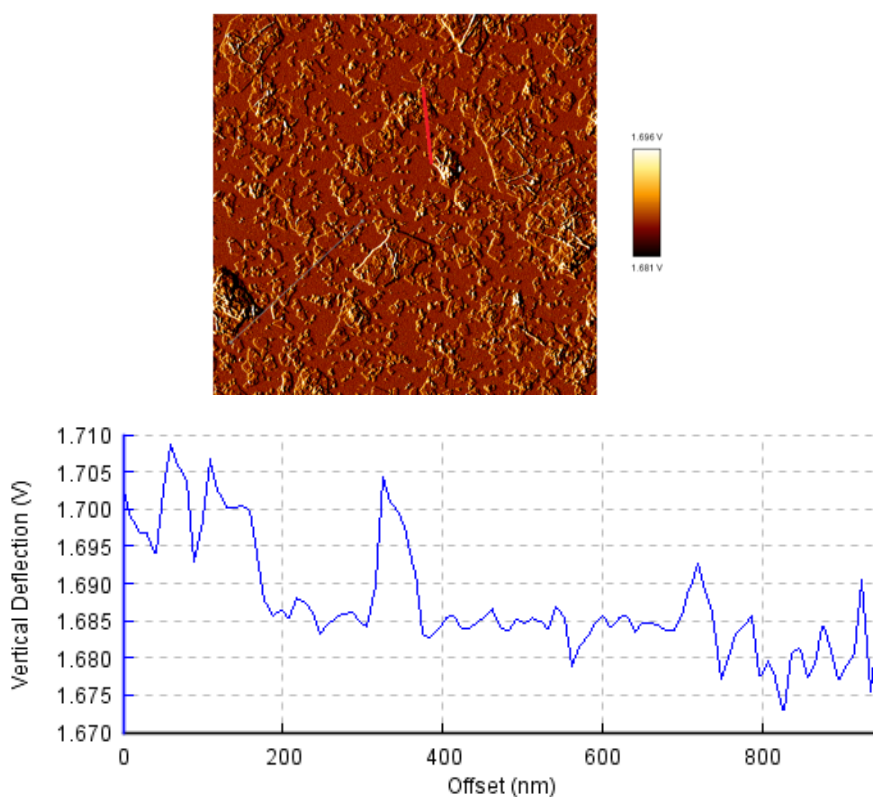


Fig. 3. AFM images of GO nanosheets
شکل ۳- تصویر AFM نانوصفحات GO



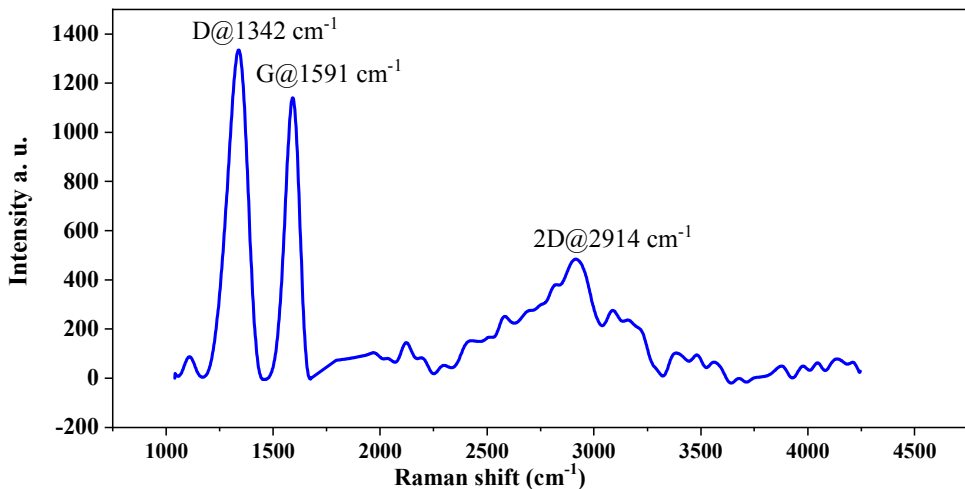
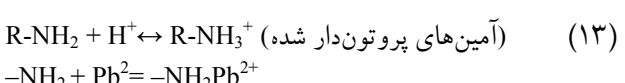


Fig. 4. The Raman spectrum of GO
شکل ۴- طیف Raman نانوجاذب GO

میزان اتصال یون‌های سرب در سطح جاذب می‌شود. همچنین در pH کمتر از ۵، افزایش یون‌های H^+ در محلول موجب پروتون دار شدن زوج الکترون‌های گروه‌های آمینی (NH_3^+) بر طبق معادله ۱۳ می‌شود. در نتیجه به دلیل رقابت این یون‌ها با کاتیون فلزی بر اتصال گروه‌های عاملی سطح نانوجاذب، ظرفیت و درصد حذف یون‌ها کاهش می‌یابد. از طرفی دیگر با کاهش pH از مقدار ۵، دافعه الکترواستاتیکی بین گروه‌های عاملی سطح جاذب و کاتیون‌های فلزی افزایش می‌یابد. در حالی که در pHهای بیش از ۵ میزان جذب یون‌های سرب در اثر برهم‌کنش قوی تر الکترونی با گروه‌های NH_2 - میزان جذب یون‌های سرب افزایش پیدا می‌کند و از طرفی دیگر، در دامنه pH بین ۴ تا ۶ گروه‌های اکسیدی سطح جاذب به ویژه گروه عاملی کربوکسیل یونیزه شده و با تشکیل COO^- - در سطح جاذب، میزان جذب یون‌های سرب افزایش می‌یابد (Liang et al., 2020; Hu et al., 2017).



به منظور تأیید نتایج حاصل از مطالعه اثر pH، pH_{ZPC} نیز در مقدار مختلف pH بررسی شد. در این نقطه میزان بارهای مثبت و منفی سطح جاذب در حالت تعادل قرار دارد (Calimli et al., 2020; Sarswat and Mohan, 2016).

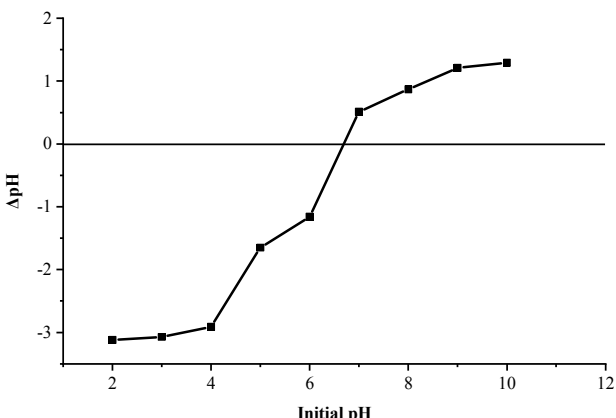
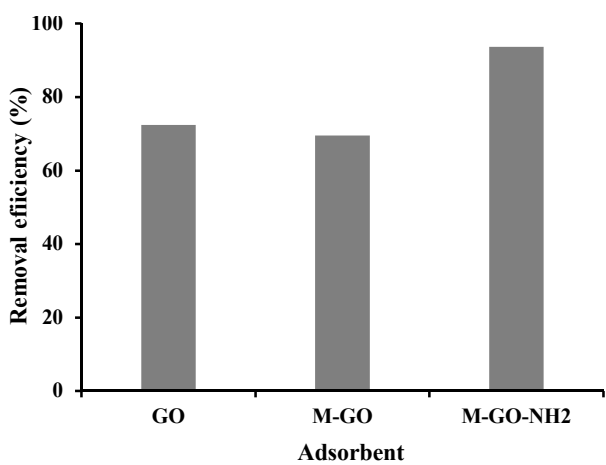
گرافیتی بدون اتصال با گروه‌های اکسیدی، دست نخورده باقی مانده‌اند را نشان می‌دهند. موقعیت این طیف‌ها نشان می‌دهد که GO به درستی سنتز شده است (Azimi Bizaki et al., 2020; Faiz et al., 2020).

موقعیت باند 2D نیز انباستگی ورقه‌های گرافن را نشان می‌دهد. موقعیت این باند در گرافن تک لایه گرافن در موقعیت 2914 cm^{-1} و چند لایه گرافن (حاوی ۲ تا ۴ لایه)، به اعداد بزرگتر تغییر می‌یابد. تعداد لایه‌های GO با استفاده از نسبت I_{2D}/I_G نیز قابل سنجش است. با این ترتیب که برای ۱، ۲، ۳ و چند (>۴) لایه گرافن معمولاً بزرگتر از $1/6$ ، $1/8$ ، $1/10$ ، $1/12$ و $1/14$ است (Akhavan et al., 2014; Einollahipeer et al., 2018).

با توجه به نسبت $\frac{484.36}{1141.10}$ (I_{2D}/I_G) در GO سنتز شده، این مقدار برابر $1/10$ به دست آمد که نشان‌دهنده ۲ و ۳ لایه بودن صفحات GO بود.

به منظور بررسی اثر pH بر کارایی جاذب در حذف سرب، فرایند جذب در سیستم ناپیوسته با دامنه pH برابر ۲ تا ۷ و ثابت نگهداشت سایر فاکتورها انجام شد. در این بخش از آزمایش، بیشترین میزان جذب یون‌های سرب در گذر از pH برابر ۵ به ۶ مشاهده شد. مقدار جذب یون‌های سرب تا pH معادل ۴ به دلیل رقابت بین پروتون‌های آزاد H^+ و یون‌های سرب برای اتصال به گروه‌های عاملی سطح جاذب، در حداقل مقدار است. در حالی که با افزایش pH از سطح ۴، افزایش گروه‌های OH^- ، موجب افزایش



**Fig. 5.** pH_{zpc} of adsorbentشکل ۵- نقطه pH_{zpc} جاذب**Fig. 6.** Comparison of adsorption capacity among the GO, mGO and mGO-NH₂شکل ۶- مقایسه ظرفیت جذب جاذب‌های GO و mGO و mGO-NH₂

پیش‌بینی پاسخ‌ها و همچنین بهینه‌سازی مراحل آزمایش دارد. به این ترتیب به کمک این تکنیک، برآورد صحیحی بر ضرایب مدل رگرسیون و اثر متقابل متغیرها قابل دستیابی است. (Sahu et al., 2010)

در این پژوهش نیز پس از دستیابی به میزان بهینه فاکتور pH، میزان بهینه زمان، غلظت سرب و میزان جاذب با استفاده از طرح CCD تعیین شد. شکل ۷ نتایج حاصل از آزمون را بر اساس معادله R^2 نشان می‌دهد. کیفیت مدل نیز بر اساس ارتباط بین مقدار R² معادلات ۱۴ و ۱۵ (حاصل از نتایج RSM) بررسی شد. مقدار R^2 به دست آمده نشان می‌دهد که بین مقدار قابل پیش‌بینی جذب و

شکل ۵ تغییرات بار سطحی نانوجاذب را با منحنی pH_{zpc} نشان می‌دهد. مقدار pH_{zpc} برابر ۶/۹ بوده که در این pH بار سطحی جاذب خنثی است. گروه‌های کربوکسیل (-COOH)، هیدروکسیل (-OH) و آمین (-NH) موجود در سطح جاذب در مقدار مختلفی از pH موجب تغییر بار سطح جاذب می‌شوند (Khorshidi et al., 2020). با افزایش pH از مقدار ۶/۹، گروه‌های عاملی اکسیدی موجود در سطح نانوجاذب یونیزه شده و با جدا شدن پروتون به صورت O^- در می‌آیند. در نتیجه بار سطح نانوجاذب منفی شده و از طریق جاذبه الکترواستاتیکی تمایل بیشتری به اتصال کاتیون‌ها خواهد داشت. هم‌زمان با این فرایند، افزایش pH محلول موجب کاهش میزان پروتون‌های آزاد H^+ و افزایش اتصال یون‌های آزاد سرب به سطح منفی جاذب می‌شود. در عین حال، کاهش pH از pH_{zpc} موجب ایجاد بار مثبت سطح جاذب و افزایش میزان پروتون‌های آزاد H^+ در نتیجه کاهش جذب کاتیون‌ها می‌شود (Khorshidi et al., 2020, Calimli et al., 2020).

نتایج حاصل از بررسی pH_{zpc} می‌تواند تأییدی بر نتایج حاصل از بررسی اثر pH بر فرایند جذب باشد. بر اساس پتانسیل زتا، مقدار نقطه زتا $-16/5$ و $-17/5$ برای GO و mGO-NH₂ به دست آمد، که نتایج آنها می‌تواند تأییدکننده نتایج حاصل از pH باشد. چراکه با افزایش گروه‌های عاملی در سطح نانوجاذب، بار منفی سطح نانوجاذب نیز افزایش می‌یابد. در نتیجه ظرفیت جذب برای اتصال به کاتیون‌ها بیشتر می‌شود. نتایج مقایسه ظرفیت جذب جاذب‌های GO، mGO و mGO-NH₂ در شکل ۶ نشان داده شده است.

۳-۲- نتایج حاصل از RSM

دو روش معمول که در RSM استفاده می‌شود، CCD و BBD^۱ است. روش CCD معمولاً در کارهای مشابه آزمایشگاهی به کار می‌رود. این روش با استفاده از مجموعه‌ای از تکنیک‌های ریاضی و آماری با انجام کمترین آزمایش و صرفه‌جویی در هزینه و زمان نسبت به سایر روش‌های معمول آزمایش توانایی بیشتری در

¹ Box-Behnman Design (BBD)



جدول ۲- نتایج حاصل از آنالیز ANOVA برای مدل درجه دوم حاصل از طراحی سطح پاسخ در جذب سرب

Table 2. Analysis of variance (ANOVA) for response surface quadratic model for adsorption of Pb (II)

Source	Sum of squares	Degree of freedom	Mean square	F-value	Prob>F	Remarks
Model	46973.55	9	5219.28	30.90	< 0.0001	Significant
X ₁	29120.26	1	29120.26	172.41	< 0.0001	
X ₂	11544.47	1	11544.47	68.35	< 0.0001	
X ₃	1396.47	1	1396.47	8.27	0.0083	
X ₁ X ₂	280.23	1	280.23	1.66	0.2100	
X ₁ X ₃	142.80	1	142.80	0.8455	0.3670	
X ₂ X ₃	88.36	1	88.36	0.5232	0.4765	
X ₁ ²	1409.15	1	1409.15	8.34	0.0081	
X ₂ ²	1183.34	1	1183.34	7.01	0.0141	
X ₃ ²	3438.13	1	3438.13	20.36	0.0001	
Residual	4053.59	24	168.90			
Lack of fit	4053.59	5	810.72		0.05<	Not significant
Pure error	0.0001	19	0.0001			
Correlation total	51027.14	33	-			

بر اساس نتایج RSM که در شکل ۷ نشان داده شده است، جذب یون‌های سرب در زمان ابتدایی آزمایش سریع‌تر اتفاق افتاد. سپس میزان جذب تمامی یون‌ها در زمان ۷۲ دقیقه به تعادل رسید تا اینکه تا زمان ۱۲۰ دقیقه با شبیه ملایمی افزایش کمی داشت. به این ترتیب که هر چند، بیشترین میزان ظرفیت جذب با مقدار ۳۰ mg/L سرب و ۱۶۴/۲۹ mg/g در زمان ۱۲۰ دقیقه، در غلظت ۳۰ mg/g در ۲۰ mg جاذب به دست آمد. اما میزان آن با ۲۲ mg/g میزان ۷۲ دقیقه و در غلظت ۳۰ mg/L و میزان ۲۲ mg جاذب تفاوت چندانی نداشت که نشان‌دهنده تغییر اندک میزان جذب در مقایسه با افزایش زمان و همچنین مقدار جاذب است. تغییر اندک ظرفیت جذب می‌تواند به دلیل ثابت بودن غلظت اولیه محلول حاوی سرب و در نتیجه کاهش تعداد یون‌های قابل اتصال به گروه‌های عاملی با توجه به محل‌های اتصال در دسترس باشد. از طرفی دیگر، با افزایش میزان جاذب، تداخل بین محل‌های اتصال در سطح جاذب ایجاد شده که می‌تواند ظرفیت جذب را کاهش دهد (Khorshidi et al., 2020, Dubey et al., 2015).

خورشیدی و همکاران در سال ۲۰۲۰ در جذب سرب توسط عامل دار شده با گلوتایون نشان دادند که میزان جذب یون‌های سرب تا زمان ۶۰ دقیقه سریع و سپس کنترل انجام شد. به طوری که حداقل درصد حذف ۹۴ درصد در زمان ۹۰

همچنین نتایج حاصل از آزمایش ارتباط قوی وجود دارد. میزان R^2 برابر ۰/۹۲ Predicted R^2 و ۰/۸۹ Adjusted R^2 همراه با میانگین ۱۰۲/۵۶ و C.V ۶۷/۱۲ به دست آمد. بر اساس نتایج حاصل از ANOVA (جدول ۲) مدل درجه دوم که برای حذف یون‌های سرب به دست آمد، مقدار prob > F-value کمتر از ۰/۰۵ بوده که نشان‌دهنده معنی‌دار بودن مدل بود. نتایج نشان داد که مقدار lack of fit داده‌ها بیش از ۰/۰۵ بوده که قابل اعتماد بودن داده‌ها و میزان حداقل خطای آزمایش را ثابت می‌کند. بر اساس نتایج حاصل از آزمون ANOVA هر سه پارامتر زمان، غلظت و میزان جاذب، اثر معنی‌داری بر فرایند جذب داشت ($p < 0/0001$). مدل استفاده شده نیز در سطح ۰/۰۵ معنی‌دار بود

$$q_e = +112.64 + 15.84 A - 9.98 B + 3.47 C + 4.18 \quad (14)$$

$$AB + 2.99 AC - 2.35 BC - 0.8491 A^2 - 0.7781 B^2 - 1.33 C^2$$

$$(15)$$

$$q_e = +7.92104 - 2.90290 \text{ time} + 0.698479 \text{ concentration} + 15.75410 \text{ dosage} + 0.069750 \text{ time * concentration} + 0.124479 \text{ time * dosage} - 0.235000 \text{ concentration * dosage} - 0.005897 \text{ time}^2 - 0.031124 \text{ concentration}^2 - 0.331575 \text{ dosage}^2$$



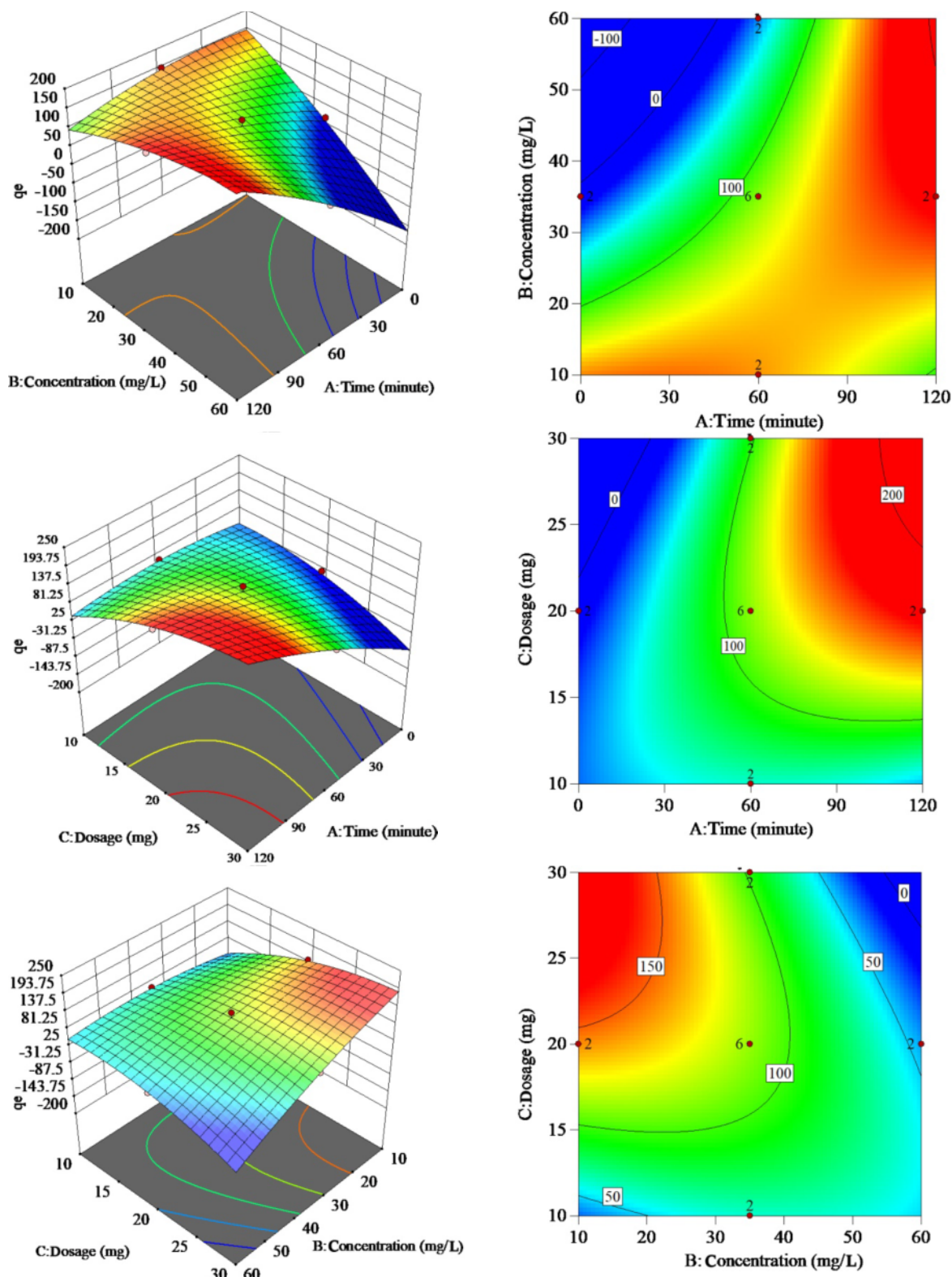


Fig. 7. The 3D surface and contour plots showing the influence of time (X_1), initial concentration (X_2) and adsorbent dosage (X_3)

شکل ۷- نمودارهای دو بعدی و سه بعدی هر یک از فاکتورهای زمان (X_1)، غلظت (X_2) و مقدار جاذب (X_3)

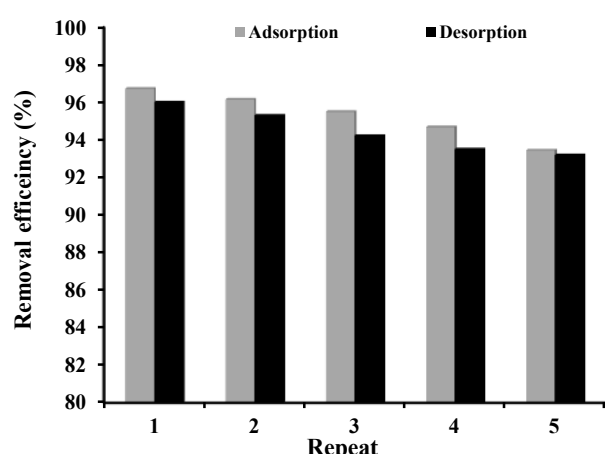


یون‌های سرب استفاده شد، حداکثر ظرفیت جذب برابر $204/0.6$ میلی‌گرم بر گرم به دست آمد. تفاوت در میزان ظرفیت جذب در پژوهش‌های مختلف، می‌تواند به سایت‌های خالی موجود در سطح جاذب، نوع پیش ماده و نوع گروه‌های عاملی تشکیل شده در سطح جاذب باشد (Khorshidi et al., 2020; Xu et al., 2017).

بنابراین، تفاوت میزان ظرفیت جذب به دست آمده در این پژوهش با پژوهش‌های انجام شده، می‌تواند به دلیل استفاده از پیش ماده‌های متفاوت مانند کیتوزان و پودر گرافیت صنعتی به عنوان پیش ماده و استفاده از چندین مرحله عامل‌دار کردن توسط گروه‌های عاملی آمینی باشد.

۳-۳- بررسی فرایند واجذب جاذب

به منظور بررسی قابلیت واجذب یون‌های سرب از سطح جاذب، اسیدهای HCl , H_2SO_4 و HNO_3 (حجم 30 ml) استفاده شدند. اسید HNO_3 به عنوان کارآمدترین اسید برای واجذب فلز سرب با $97/8$ درصد بازیابی به عنوان مؤثرترین اسید از سطح جاذب انتخاب شد. پس از بررسی تعیین کارآمدترین اسید در واجذب سرب از سطح جاذب، بهترین واجذب توسط HNO_3 با حجم 20 ml لیتر و غلظت $2/0$ نرمال به دست آمد. در نهایت پس از ۵ مرحله انجام فرایند جذب-واجذب، مقدار درصد جذب سرب بر سطح جاذب $92/2$ درصد اندازه‌گیری شد (شکل ۸).



شکل ۸-۸- تعداد دفعات جذب و واجذب یون سرب

۴-۳- مطالعه ترمودینامیک جذب

اثر دما بر فرایند جذب فلزات توسط نانوجاذب GO مغناطیسی

دقیقه به دست آمد. آنها عامل مؤثر در کاهش میزان جذب را با افزایش زمان، کاهش مکان‌های در دسترس یون‌های فلزی عنوان کردند. بنابر نتایج حاصل، جاذب سنتز شده از پیش ماده ساقه گیاه لویی، می‌تواند ظرفیت مناسبی برای حذف یون‌های سرب از محلول‌های آبی داشته باشد. پژوهش‌های زیادی در زمینه سنتز GO و نانوجاذب‌های دیگر برای حذف فلزات سنگین از محیط‌های آبی انجام شده است. در اکثر پژوهش‌های انجام شده سنتز به خصوص در مورد جاذب GO به صورت شیمیایی از پودر گرافیت انجام شده و برخی نیز از پیش ماده‌های لیگنوسلولی استفاده شده است. چن و همکاران در سال ۲۰۱۶ از پسماند کاه‌گندم برای سنتز گرافن استفاده کردند. نتایج حاکی از سنتز گرافن با کیفیت مطلوب بود (Chen et al., 2016).

اخوان و همکاران در سال ۲۰۱۴ از پسماندهای کربن‌دار طبیعی و صنعتی مانند ضایعات پوشش گیاهی (چوب، برگ، باگاس و ضایعات میوه)، ضایعات حیوانی (استخوان و گاو کود)، زباله نیمه‌صنعتی (روزنامه) و زباله‌های صنعتی (پودر دوده تولید شده در آگزو ز وسایل نقلیه دیزلی) برای سنتز گرافن استفاده کردند. نتایج نشان داد که ورقه‌های GO به درستی سنتز شده‌اند (Akhavan et al., 2014)

ضرغامی و همکاران در سال ۲۰۱۶، سطح کیتوسان را توسط گروه‌های عاملی آمینی شاخه‌دار کرده و همچنین پس از حصول اطمینان از سنتز نانوجاذب، در جذب یون‌های سرب از محلول‌های آبی به کار بردنده، نتایج نشان داد که جاذب سنتز شده به درستی با چگالی بالای آمین دار شده و دارای قابلیت جذب 3 برابری در مقایسه با کیتوسان سنتز شده با تعداد شاخه‌های کمتر و قابلیت جذب 18 برابری در مقایسه با کیتوسان خالص است. در این بررسی حداکثر ظرفیت جذب، $58/5$ میلی‌گرم بر گرم به دست آمد (Zarghami et al., 2016).

در پژوهش سارسوات و موہان در سال ۲۰۱۶ GO طی چند مرحله آمین دار شد (GO/polyamidoamine dendrimers; PAMAM) و حداکثر ظرفیت جذب در pH معادل 6 برابر $568/18$ میلی‌گرم بر گرم به دست آمد (Sarswat and Mohan, 2016).

در پژوهش خورشیدی و همکاران در سال ۲۰۲۰ که از جاذب NiFe₂O₄/grapheme عامل‌دار شده با گلوتاکیون برای حذف



جدول ۳- نتایج حاصل از مدل های برازش شده لانگمیر، فروندلیچ، R-P و D-R و پارامترهای ترمودینامیک جذب سرب**Table 3. Langmuir, Freundlich, R-P, D-R isotherms and thermodynamic parameters for adsorption of Pb (II)**

Langmuir			Freundlich			R-P			D-R					
q _m	b	R ²	K _f	n	R ²	k _{RP}	a _{RP}	β	R ²	q _m	β	E	R ²	
147.05	4.25	0.905	94.17	3.67	0.92	0.5	1	1.03	0.50	53.74	-0.22	-	0.24	
T (K)	K _d (l/g)			ΔG° (kJ/mol)			ΔS° (J/Kmol)			ΔH° (kJ/mol)			R ²	
288	10			-9.65										
298	12.26			- 11.74						118.94			29.08	
308	14.58			-12.83									0.94	
318	14.12			-13.92										

افزایش دما نیز، تمايل یون های سرب به گروه های عاملی و در نتیجه افزایش جذب را ثابت می کند. مقدار منفی ΔG° نشان می دهد که با افزایش دما یون سرب هیدراته شده و حلالیت آنها در محلول افزایش می یابد که میزان جذب را افزایش می دهد (Dai et al., 2020).

آمین دار شده با استفاده از ۱۰۰ میلی لیتر محلول ۳۰ mg/L سرب به همراه ۲۰ mg جاذب در زمان ۷۲ دقیقه و در دماهای ۱۵، ۲۵، ۳۵ و ۴۵ درجه سلسیوس بررسی شد. هریک از پارامترهای آنتالپی و آنتروپی نیز با استفاده از رابطه وانت هو夫 ($\ln k_d = \frac{RT}{\Delta H^\circ} - \frac{\Delta S^\circ}{R}$) محاسبه شدند. نتایج حاصل در جدول ۳ آمده است. با توجه به نتایج معادله وانت هو夫 و مقدار منفی بدست آمده ΔH° فرایند جذب یون های سرب توسط نانوجاذب گرمایشی^۱ است (Kaur et al., 2019).

۳-۵- مطالعه هم دمای جذب

مدل های ایزو ترم جذب، ارتباط بین غلظت یون های سرب را در حالت تعادل (C_e) و میزان جذب شده (q_e) این یون ها بر سطح نانوجاذب نشان می دهد. ارزیابی جذب خطی، پارامترها و ضرایب تعیین رگرسیونی آنها در جدول ۳ آمده است. با توجه به ضریب R^2 به دست آمده از هم دمای فروندلیچ و R-P، مکانیسم جذب یون های سرب به صورت چند لایه بر روی سطح غیر یکنواخت نانو کامپوزیت است که در آنها با افزایش غلظت اولیه فلز، ظرفیت جذب نیز افزایش می یابد. بر اساس نتایج بیان شده، میزان $1/n$ مدل فروندلیچ کمتر از ۱ است. بنابراین یون های سرب تمايل زیادی برای اتصال به مکان های جذب در سطح جاذب را دارند. مقدار بالای ضریب ثابت k_a نیز اتصال بیشتر این یون ها بر سطح نانو کامپوزیت را نشان می دهد (Einollahipeer et al., 2018).

۴- نتیجه گیری

در سال های اخیر پژوهش های زیادی در مورد حذف سرب با استفاده از نانوجاذب های مختلف انجام شده است که با توجه به نوع پیش ماده و گروه های عاملی سطح جاذب، ظرفیت جذب متفاوتی

بنابراین با افزایش دما ظرفیت جذب و در نتیجه میزان K_d افزایش می یابد. وجود غلاف هیدراتی یون سرب موجب گرمایش بودن فرایند شده و در دماهای پایین از جذب آنها توسط نانوجاذب محافظت می کند. در دمای بالا با این رفتان غلاف هیدراتی، جذب یون های نیز افزایش می یابد. ΔS° نشان دهنده بی نظمی فرایند جذب در سطح مشترک جاذب- جذب است. مقدار مثبت ΔS° نیز نشان دهنده گرایش به بی نظمی یون ها در دماهای بیشتر و بخورد غیر تصادفی جاذب و یون های فلزی است. از طرفی دیگر، میزان ΔH° فیزیکی (۸۰ kJ/mol) یا شیمیابی (۴۰۰ kJ/mol) تا ۲۰ تا ۸۰ kJ/mol بودن فرایند جذب را نشان می دهد (Rodrigues et al., 2011).

با توجه به مقدار ΔH° به دست آمده فرایند جذب فیزیکی، یک فرایند غالب برای جذب یون سرب است. مقدار منفی پارامتر ΔG° در برابر افزایش درجه حرارت، خود به خودی بودن فرایند جذب را نشان می دهد. این فرایند به دلیل کاهش دانسیته محلول و همچنین انرژی فعال سازی محلول است. افزایش مقدار منفی ΔG° با

¹ Exothermic

قابلیت استفاده در فرایند جذب یون‌های سرب از محلول‌های آبی را داشته باشد.

۵- قدردانی

ضمون تشرک از دانشگاه زابل، نتایج پژوهش حاصل از طرح پژوهشی داخلی با شماره قرارداد ۴-PR-UOZ98-PR بوده که با حمایت مالی معاونت پژوهش و فناوری دانشگاه زابل انجام شد.

دارند. استفاده از نانوجاذب‌های تولید شده از مواد طبیعی مانند پسماندهای گیاهی به دلیل دسترسی آسان و اقتصادی بودن، می‌تواند به عنوان گزینه مناسبی برای سنتز نانوجاذب و استفاده اختصاصی آنها برای حذف آلاینده‌های مختلف از طریق عامل‌دار کردن آنها باشد.

نتیجه این پژوهش نشان داد که جاذب m-GO-NH₂ سنتز شده از ساقه گیاه لویی با ظرفیت جذب ۲۹/۱۶۴ mg/g نیز می‌تواند

References

- Ajiboye, T. O., Oyewo, O. A. & Onwudiwe, D. C. 2021. Simultaneous removal of organics and heavy metals from industrial wastewater: a review. *Chemosphere*, 262, 128379.
- Akhavan, O., Bijanzad, K. & Mirsepah, A. 2014. Synthesis of graphene from natural and industrial carbonaceous wastes. *RSC Advances, Royal Society of Chemistry*, 4(39), 20441-20448.
- Azimi Bizaki, S., Bahramifar, N., Zandipak, R. & Bahmeei, F. 2020. Preparation of magnetic graphene nanocomposite for the removal of cefixime from aqueous solution. *International Journal of Environmental Analytical Chemistry*, 1838496, 1-17.
- Beiramzadeh, Z., Baqersad, M. & Aghababaei, M. 2019. Application of the response surface methodology (RSM) in heavy metal removal from real power plant wastewater using electrocoagulation. *European Journal of Environmental and Civil Engineering*, 1640139, 1-20.
- Calimli, M. H., Nas, M. S., Burhan, S., Mostafov, S. D., Demirbas, O. & Sen, F. 2020. Preparation, characterization and adsorption kinetics of methylene blue dye in reduced-graphene oxide supported nanoadsorbents. *Journal of Molecular Liquids*, 309, 113171.
- Cao, X., Lu, Y., Wang, C., Zhang, M., Yuan, J., Zhang, A., et al., 2019. Hydrogeochemistry and quality of surface water and groundwater in the drinking water source area of an urbanizing region. *Ecotoxicology and Environmental Safety*, 186, 109628.
- Chen, F., Yang, J., Bai, T., Long, B. & Zhou, X. 2016. Facile synthesis of few-layer graphene from biomass waste and its application in lithium ion batteries. *Journal of Electroanalytical Chemistry*, 768, 18-26.
- Ciria, M. P., Solano, M. L. & Soriano, P. 2005. Role of macrophyte *Typha latifolia* in a constructed wetland for wastewater treatment and assessment of its potential as a biomass fuel. *Biosystems Engineering*, 92(4), 535-544.
- Dai, K., Xu, W., Deng, Z., Wu, Y., Zhao, C. & Zhang, Z. 2020. Judicious fabrication of bifunctionalized graphene oxide/MnFe₂O₄ magnetic nanohybrids for enhanced removal of Pb (II) from water. *Journal of Colloid and Interface Science*, 579, 815-822.
- Dubey, R., Bajpai, J. & Bajpai, A. K. 2015. Green synthesis of graphene sand composite (GSC) as novel adsorbent for efficient removal of Cr (VI) ions from aqueous solution, *Journal of Water Process Engineering*, 5, 83-94.
- Einollahieer, F., Bahramifar, N. & Younesi, H. 2018. Removal of Cd (II), Pb (II) and Cu (II) ions from aqueous solution by polyamidoamine dendrimer grafted magnetic graphene oxide nanosheets. *Journal of the Taiwan Institute of Chemical Engineers*, 87, 225-240.



- Faiz, M. A., Azurahanim, C. C., Yazid, Y., Suriani, A. B. & Ain, M. S. N. 2020. Preparation and characterization of graphene oxide from tea waste and it's photocatalytic application of TiO₂/graphene nanocomposite. *Materials Research Express*, 7(1), 15613.
- Hasan, R. & Setiabudi, H. D. 2019. Removal of Pb (II) from aqueous solution using KCC-1: optimization by response surface methodology (RSM). *Journal of King Saud University-Science*, 31(4), 1182-1188.
- Hu, Z., Qin, S., Huang, Z., Zhu, Y. & Xi, L. 2017. Stepwise synthesis of graphene oxide-wrapped magnetic composite and its application for the removal of Pb (II). *Arabian Journal for Science and Engineering*, 42(10), 4239-4247.
- Huang, H., Wu, K., Khan, A., Jiang, Y., Ling, Z., Liu, P., et al., 2016. A novel *Pseudomonas gessardii* strain LZ-E simultaneously degrades naphthalene and reduces hexavalent chromium. *Bioresource Technology*, 207, 370-378.
- Jaafari, J. & Yaghmaeian, K. 2019. Optimization of heavy metal biosorption onto freshwater algae (*Chlorella coloniales*) using response surface methodology (RSM). *Chemosphere*, 217, 447-455.
- Kaur, N., Kaur, M. & Singh, D. 2019. Fabrication of mesoporous nanocomposite of graphene oxide with magnesium ferrite for efficient sequestration of Ni (II) and Pb (II) ions: adsorption, thermodynamic and kinetic studies. *Environmental Pollution*, 253, 111-119.
- Kazemi, A., Bahramifar, N., Heydari, A. & Olsen, S. I. 2019. Synthesis and sustainable assessment of thiol-functionalization of magnetic graphene oxide and superparamagnetic Fe₃O₄@ SiO₂ for Hg (II) removal from aqueous solution and petrochemical wastewater. *Journal of the Taiwan Institute of Chemical Engineers*, 95, 78-93.
- Khakpour, R. & Tahermansouri, H. 2018. Synthesis, characterization and study of sorption parameters of multi-walled carbon nanotubes/chitosan nanocomposite for the removal of picric acid from aqueous solutions. *International Journal of Biological Macromolecules*, 109, 598-610.
- Khan, F. S. A., Mubarak, N. M., Tan, Y. H., Karri, R. R., Khalid, M., Walvekar, R., et al., 2020. Magnetic nanoparticles incorporation into different substrates for dyes and heavy metals removal a review. *Environmental Science and Pollution Research*, 27(35), 43526-43541.
- Khorshidi, P., Shirazi R. H. S. M., Miralinaghi, M., Moniri, E. & Saadi, S. 2020. Adsorptive removal of mercury (II), copper (II), and lead (II) ions from aqueous solutions using glutathione-functionalized NiFe₂O₄/graphene oxide composite. *Research on Chemical Intermediates*, 46(7), 3607-3627.
- Liang, R., Huang, L., Wang, X., Hu, X., Liu, C., Chen, M. & Chen, J. 2020. Pb²⁺ adsorption by ethylenediamine-modified pectins and their adsorption mechanisms. *Carbohydrate Polymers*, 234, 115911.
- Naja, G. M. & Volesky, B. 2017. *Toxicity and Sources of Pb, Cd, Hg, Cr, As and Radionuclides in the Environment*, in Handbook of advanced industrial and hazardous wastes management, Florida, USA.
- Nowrouzi, M., Younesi, H. & Bahramifar, N. 2017. High efficient carbon dioxide capture onto as-synthesized activated carbon by chemical activation of Persian Ironwood biomass and the economic pre-feasibility study for scale-up. *Journal of Cleaner Production*, 168, 499-509.
- Qin, H., Hu, T., Zhai, Y., Lu, N. & Aliyeva, J. 2020. The improved methods of heavy metals removal by biosorbents: a review. *Environmental Pollution*, 258, 113777.
- Rodrigues, L. A., Da Silva, M. L. C. P., Alvarez-Mendes, M. O., Dos Reis Coutinho, A. & Thim, G. P. 2011. Phenol removal from aqueous solution by activated carbon produced from avocado kernel seeds. *Chemical*



- Engineering Journal*, 174(1), 49-57.
- Sahu, J. N., Acharya, J. & Meikap, B. C. 2010. Optimization of production conditions for activated carbons from Tamarind wood by zinc chloride using response surface methodology. *Bioresource Technology*, 101(6), 1974-1982.
- Sarswat, A. & Mohan, D. 2016. Sustainable development of coconut shell activated carbon (CSAC) & a magnetic coconut shell activated carbon (MCSAC) for phenol (2-nitrophenol) removal. *RSC Advances, Royal Society of Chemistry*, 6(88), 85390-85410.
- Shin, D. S., Kim, H. G., Ahn, H. S., Joeng, H. Y., Kim, Y. J., Odkhuu, D., et al., 2017. Distribution of oxygen functional groups of graphene oxide obtained from low-temperature atomic layer deposition of titanium oxide. *RSC advances. Royal Society of Chemistry*, 7(23), 13979-13984.
- Valizadeh, S., Younesi, H. & Bahramifar, N. 2016. Highly mesoporous K_2CO_3 and KOH/activated carbon for SDS removal from water samples: batch and fixed-bed column adsorption process. *Environmental Nanotechnology, Monitoring and Management*, 6, 1-13.
- Vu, T. V., Hieu, N. V., Phuc, H. V., Heieu, N. N., Bui, H. D., Idrees, M., et al., 2020. Graphene/WSeTe van der Waals heterostructure: controllable electronic properties and schottky barrier via interlayer coupling and electric field. *Applied Surface Science*, 507, 145036.
- Xu, P., Zeng, G. M., Huang, D. L., Yan, M., Chen, M., Lai, C., et al., 2017. Fabrication of reduced glutathione functionalized iron oxide nanoparticles for magnetic removal of Pb (II) from wastewater. *Journal of the Taiwan Institute of Chemical Engineers*, 71, 165-173.
- Yang, J., Huang, L., Zhou, Y., Chen, F. & Zhong, M. 2013. Multiwalled carbon nanotubes grafted with polyamidoamine (PAMAM) dendrimers and their influence on polystyrene supercritical carbon dioxide foaming. *The Journal of Supercritical Fluids*, 82, 13-21.
- Yousefi, N., Emtyazjoo, M., Sepehr, M. N., Darzi, S. J. & Sepahy, A. A. 2020. Green synthesis of *Pseudomonas aeruginosa* immobilized Fe_3O_4 -multiwalled carbon nanotubes bio-adsorbent for the removal of 2, 4, 6-trinitrophenol from aqueous solution. *Environmental Technology and Innovation*, 20, 101071.
- Zarghami, Z., Akbari, A., Latifi, A. M. & Amani, M. A. 2016. Design of a new integrated chitosan-PAMAM dendrimer biosorbent for heavy metals removing and study of its adsorption kinetics and thermodynamics. *Bioresource Technology*, 205, 230-238.
- Zawisza, B., Baranik, A., Malicka, E., Talik, E. & Sitko, R. 2016. Preconcentration of Fe (III), Co (II), Ni (II), Cu (II), Zn (II) and Pb (II) with ethylenediamine-modified graphene oxide, (III). *Microchimica Acta*, 183(1), 231-240.
- Zhao, L., Zheng, Y. G., Feng, Y. G., Li, M. Y., Li, Y., Wang, Q., et al., 2020. Toxic effects of waterborne lead (Pb) on bioaccumulation, serum biochemistry, oxidative stress and heat shock protein-related genes expression in Channa argus. *Chemosphere*, 261, 127714.



This work is licensed under a [Creative Commons Attribution 4.0 International License](#).

